

250187

第二屆和平利用原子能國際會議文獻

原子核物理学及 仪器设备

8



中国科学院原子核科学委员会編輯委員會編

科学出版社出版

83
Y2
8

目 录

- P/2220 10千兆电子伏同步稳相加速器的运行及第一次物理研究結果 (1)
P/2219 快中子辐射俘获截面的測量 (13)
P/2221 有关有效截面和裂变过程的一些新数据 (26)
P/2187 快中子引起裂变时的瞬发中子平均数及其能譜 (42)
P/2031 Pu-240 自然分裂裂片的能譜 (54)



0235217

10 千兆电子伏同步稳相加速器的运行 及第一次物理研究結果*

維克斯勒 (B. I. Векслер)

联合原子核研究所的加速器調整完毕后于 1957 年 2 月开始运行。1957 年 4 月发表了在真空加速室内加速質子的报告，質子的能量达到 10 千兆电子伏。这是自古以来物理学家得以在自己的实验室中用人工方法获得的最高能量。

大家都知道，直到不久以前，这样高能量的粒子只能从宇宙射線获得。

联合研究所的加速器是一个庞大的原子机器，它的基本部分是巨大的环形电磁鐵，質子在磁极間的高真空室内迴旋加速。

电磁鐵包括 192 个用厚为 10 毫米的特种鋼片迭成的“山”字形组件，并且在相邻的鋼片之間是絕緣的。

电磁鐵总重大約有 3.6 万吨。

安置电磁鐵的水泥座大約有 1.5 万吨重。为了在調整和使用时，避免收縮的不均匀性，电磁鐵座需要在安装电磁鐵一年半以前建筑完成。在測量上的研究指出，实际上电磁底座要在电磁鐵安装一年以后才能完全結束变形。

图 1 表示同步稳相加速器的电磁鐵的概貌。

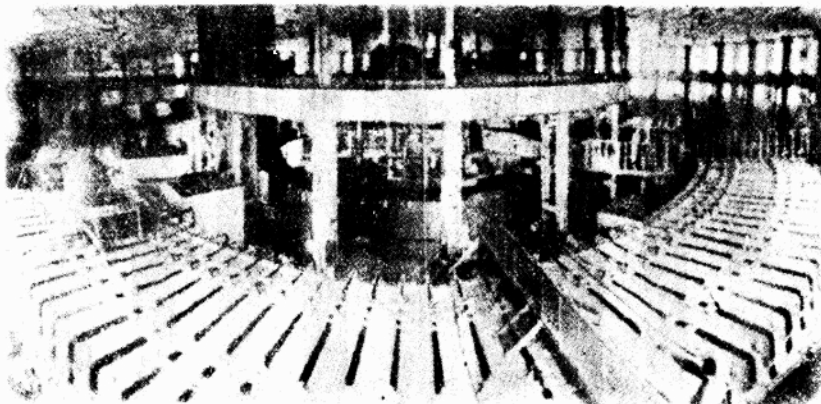


图 1.

在图中可看到，加速器的电磁鐵由直線間隙分开为四个象限。加速电极安置在其中的二个直線間隙內；还有一个間隙被用来引出不同种类的粒子束，而在第四个直線間隙中安放一个保証能将粒子注入到同步稳相加速器内部的机构。

* “第二届和平利用原子能国际会议文献”編號 A/CONF. 15/P/2229，苏联，原文为俄文。

图 2 表明注入的机构，它是由 600 千伏的脉冲变压器、加速管、加速质子到 9 兆电子伏的直线加速器以及磁光学系统组成的。

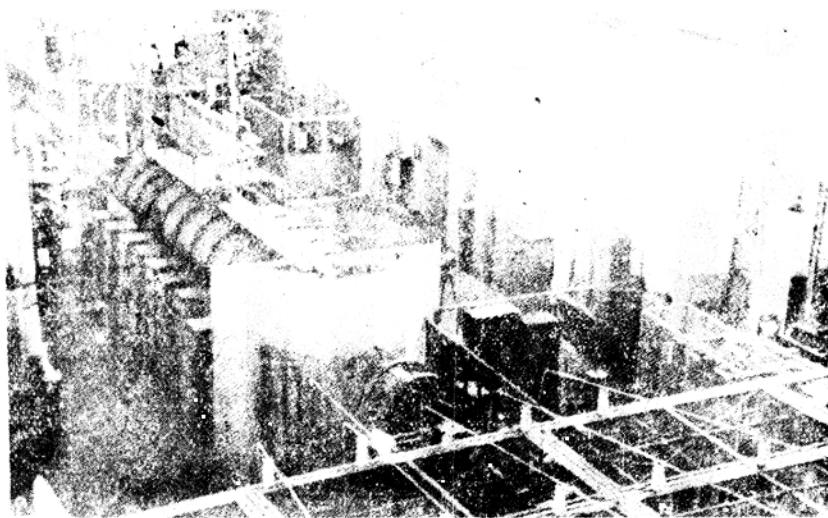


图 2.

其中运动着所要加速的质子的真空室分两步抽真空。真空室的容积大约有 200 米³。在高真空中用 56 个油扩散泵抽空，在预真空中用 16 个预真空泵抽空预真空体积。为了使粒子在加速时没有损失，实验和计算指出在真空室中必须保证达到足够的真空间度。目前在我们的加速器中真空间度平均维持在 5×10^{-6} 毫米水银柱的水平上。

在联合研究所的加速器中，粒子于 3.3 秒内获得 10 千兆电子伏的能量。在这样大的时间间隔内，为了保证粒子运动的稳定性和防止粒子偏离加速轨道，必须使磁场适合运动的稳定性条件。在粒子对轨道水平面有任何偶然的偏移的情形下，必须有使粒子回到平衡位置的磁场力。当粒子对于瞬时轨道的位置有径向偏移时，也应该有使其回到平衡位置的力。在加速器物理技术方面工作的专家们都知道，增大其中运动着被加速质子的孔隙的口径与粒子轨道半径的比例，会显著增加在建造加速器的困难，特别是会增大加速器运行的困难。这是由于孔隙口径与粒子轨道半径的比值基本上决定了加速器的全部基本特性，而加速器对后者的精确性的要求是很高的。联合研究所的同步稳相加速器粒子轨道半径大到这样程度（它的轨道半径几乎为千兆电子伏级加速器轨道半径的二倍，等于 28 米），以致使我们对于所有加速器元件首先是磁场需要有严格的容限。

为了保证在同步稳相加速器的 192 个电磁极中的每一个极的电磁场的方位均匀性，配备了专门的绕组使之能够补偿方位的不均匀性，精确度达百分之几。

对平均磁场平面位置的均匀性的要求是最关键的问题。如实验和计算所指出，磁场平均平面发生一次谐波的改变（总共只有约 1 厘米），会引起被加速粒子围绕其作竖直振荡的轨道平面变化 5—6 厘米。

在联合研究所的同步稳相加速器中，其中运动着被加速粒子的整个电磁铁工作孔隙的口径约有 32 厘米，在这 32 厘米当中依靠磁场而工作的只有 24 厘米。

为了调整平均平面，加大径向工作区域和选择粒子的最佳运动条件，在同步稳相加速器真空中装有将近 30 对导体，从而可以借电流来控制加速器的磁场特性。

电磁铁的用电是功率巨大的供电站供应的，供电站包括四个并联的机组，每个机组的功率为 37000 千伏安，四个机组的总功率要超过 140000 千伏安。由于有能量再生系统，因而电磁铁从回路中消耗的平均功率是很小的，正常工作时不超过 1 万千瓦。

机房的概貌如图 3 所示。

发电机发出的交变电流进入到由 96 个强大的水银无接头引燃管组成的整流变电站，这些引燃管按发电机的数目分为四组。每个水银整流管消耗功率差不多达 9000 千瓦。

图 4 表示一个整流机构。

在两个工作周期的间隔中，把退磁系统接通，它在同步稳相加速器的电磁铁上加上一系列反极性电流脉冲，其振幅随时间而减小。

实验和使用证实了苏联工程师所研究出的电磁铁供电系统在工作中是高度有效的和可靠的。

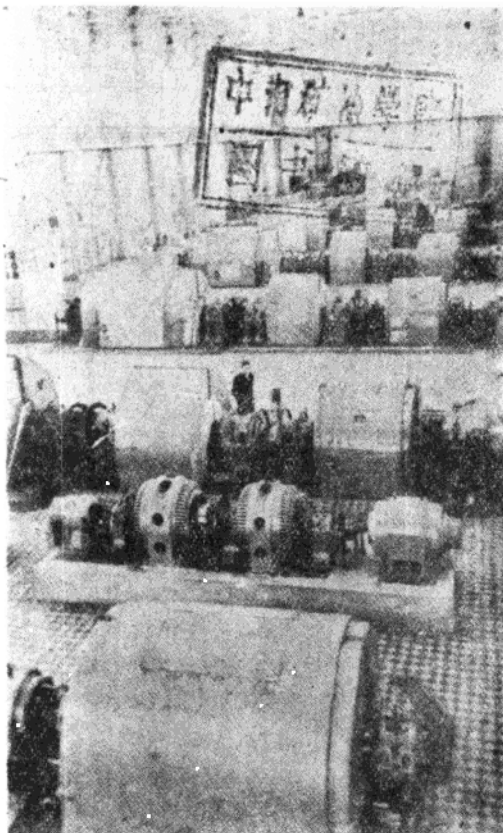


图 3.

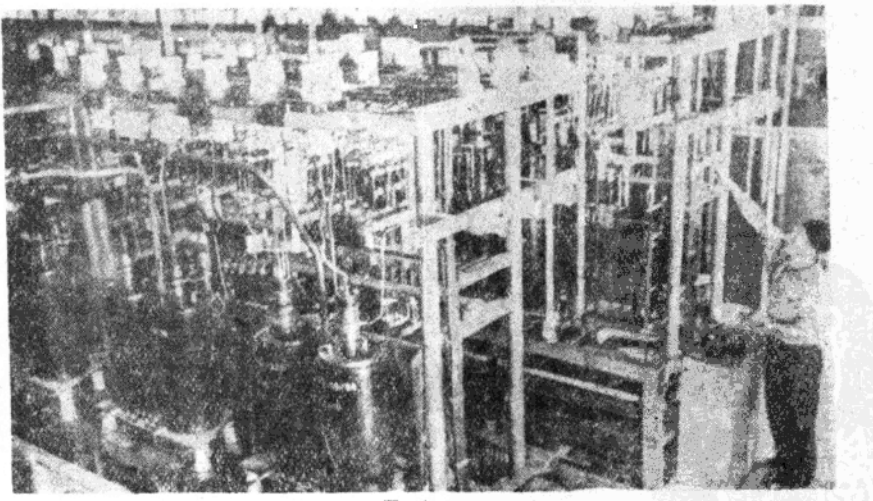


图 4.

聯合研究所的同步穩相加速器和著名的美國宇宙射線能級加速器、千兆電子伏級加速器一樣，粒子的加速基本上利用了自動穩相原理。自動穩相可以克服一些過去曾阻碍迴旋加速器發展的原則性困難。這些困難是由於粒子能量的增大使它的質量也增大，因而平時的共振加速機構不再起作用了。質子經聯合研究所的同步穩相加速器加速之後，其總質量大約增加 10 倍。為了在這些條件下保證繼續增大加速粒子的能量，在粒子飛過加速管時作用於粒子上的交變電場的頻率，應該和決定著質子在加速器中迴轉週期的磁場準確相適地改變。在這些條件下加速質子的電場和質子沿軌道的迴轉合拍地、不斷地增大質子的能量。在我們的加速器中保證這樣的同步可準確到 0.1%。

保證與粒子加速有關的全部過程的先後次序的電子學系統安置在單獨隔開的屏蔽室

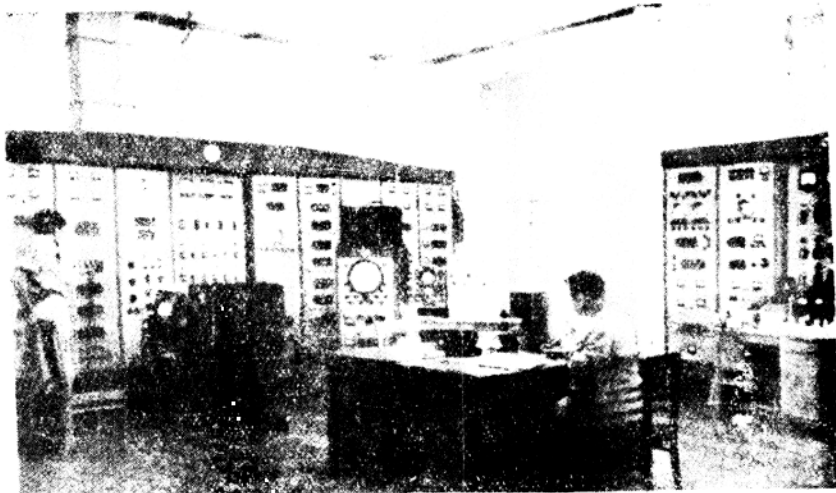


圖 5.

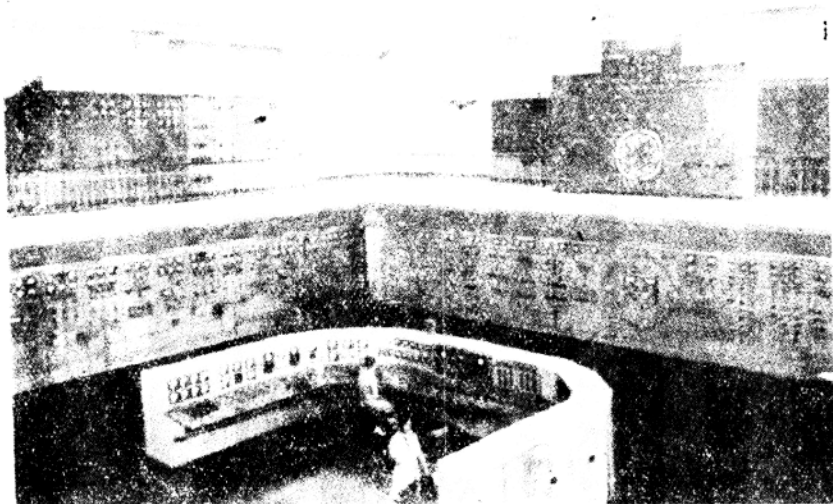


圖 6.

内,如图 5 所示。

同步稳相加速器的一切远距离控制由大约离加速器 300 米处的单独隔开的建筑物中完成。图 6 所示的是同步稳相加速器的中央控制台。

为了选择同步稳相加速器的最重要的工作参数,曾用了很长的时间,在这以后于 1957 年 4 月加速器成功地运行了,并将质子加速到预期的能量 10 千兆电子伏。这个工作还在继续进行,我们正在逐步提高加速粒子束的强度。现在向直线加速器注入质子的离子源,在质子束的聚焦很好时,质子流达到 20—30 毫安。直线加速器给出 250 微安。完成注入的时间大约 300 微秒,这时进入室内的粒子约为 1×10^{11} 个。

借助于各种不同的靶子及被安置在直线导出管中的竖直的和水平的感应电极来观察各个阶段的加速质子束。

图 7 表示由感应电极得到的典型的波形图。

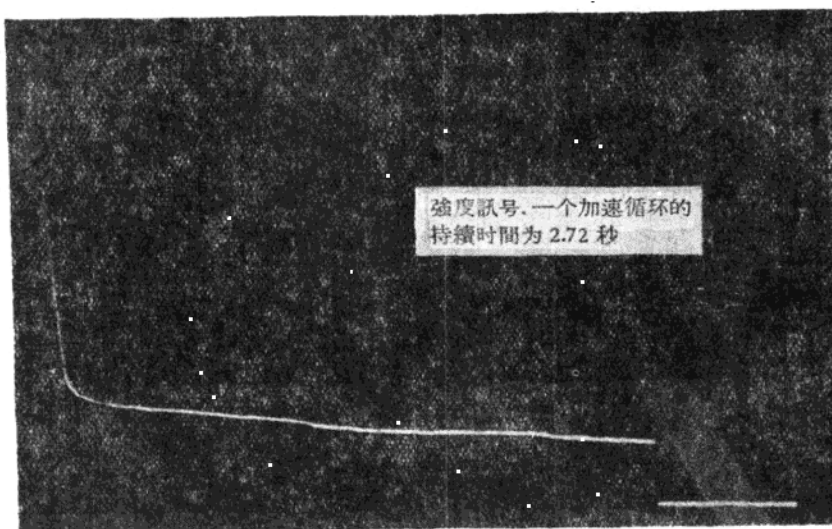


图 7.

在提高束的强度的工作过程中,发现了并且消除了一系列干扰粒子运动的现象,其中有各种微弱的共振现象。例如频率为 1200 赫兹到 600 赫兹的磁场谐波和粒子的相振荡之间的共振,造成了粒子的巨大损失。虽然 600 赫兹的磁场谐波的振幅只有 8×10^{-2} 奥斯特,即小于 0.001%,这个共振却会使被加速的粒子束损失 80%。

适当的設計加速粒子的高頻電場的振幅,就可以消除共振現象。

关于增加加速质子束强度的研究已经完成了,我有可能详细地論述。这个工作的结果使质子束的强度增加了大约 10^3 — 10^4 倍,现在在每一脉冲中大约有 10^9 个粒子,有时甚至能达到更大的强度。

在增加粒子束强度和准备各种各样的科研用的仪器的同时,开始了将质子束照射到厚层照相乳胶上的試驗。值得提起的是,已經获得了研究高能质子在核及核子上的弹性性和非弹性散射的一些初步結果。

能量为 10 千兆电子伏的质子的德布罗意波长为 9×10^{-15} 厘米,即差不多只有物理

学中用来描述核子的线度的十分之一。因此从具有这样波长的质子的弹性散射，可以得到有关核子结构的新的资料。但是，能量这样大的弹性散射具有衍射的本质，并且很容易证实质子的运动方向集中在很小的角度范围内。例如，当10千兆电子伏能量的质子在轻核上散射时，其角度不超过 1° 。正因为这样，在数千兆电子伏的能量区域内，至今还没有对质子在核及核子上的弹性散射进行过研究。联合研究所的物理学家们[达奈斯(М. Я. Данный), 留皮莫夫(В. Б. Любимов), 巴特葛连斯基(М. И. Подгорецкий)等人]在利用同步稳相加速器独有的特点的基础上，建议了一个研究高能质子弹性散射的巧妙方法。被加速到10千兆电子伏能量的质子团，其竖直的和径向的尺寸都很小，总共只有3—6厘米。因此，由自由振动的振幅和轨道半径之比来决定的粒子角分散是很小的，在联合研究所的同步稳相加速器内不超过6分。

这样，在加速器的真空室里形成了几乎是平行的粒子束，这就有可能有效地研究放在加速器真空室内的被试物质对高能质子的弹性散射，测定质子束穿过这种散射物后的角分散。

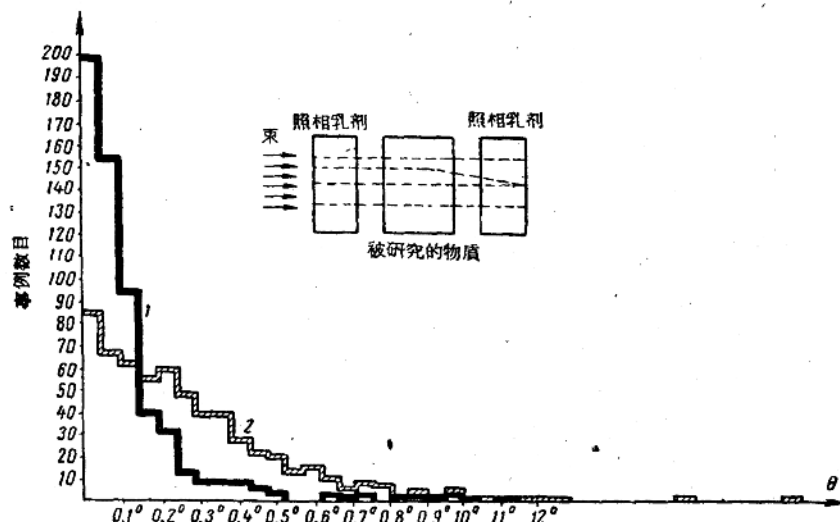


图 8.

图8可以作为这种方法的例子，它表示了被加速到9千兆电子伏的质子束在穿过照相乳胶块(厚度为36克/厘米²)前后的角分布。

在这种情况下可以研究质子在核乳胶中的衍射。从图8可看到二种角分布的显著区别。原子核的“黑球模型”和实验符合得很好。这时粒子数超过2000个，即在统计上是令人满意的。

另一种研究衍射的方法是托尔斯托夫(К. Д. Толстов)和崔耿諾夫(Э. Н. Цыганов)研究出的，这种方法同样是利用加速器的上述优点，它对于研究质子-质子的衍射特别有效。它不同于一般的方法之点是：此时高能质子束照射到显影乳胶块的与感光层平面垂直的平面上。这时根据径迹的重合性以及原初慢质子和次级慢质子电离本领的显著差别，就可以很容易分辨出质子-质子的弹性碰撞来。这种方法大约允许乳胶中的粒子径迹

数比一般方法多十倍。我們現在正在进行研究質子-質子散射的試驗，想必能够得到一些有关于“核子”的有效大小及其透明度的資料。

現在來談談關於質子和核子的非弹性碰撞過程的初步試驗結果。

曾經借助于厚層乳膠研究高能質子(9千兆電子伏)和自由質子或和准自由質子及核內中子的碰撞過程，此時出現了不同數目的快速相對論性粒子。

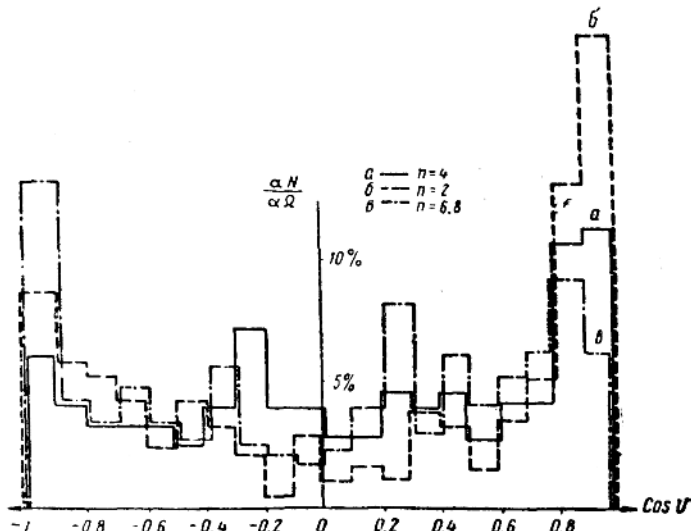


图 9.

图 9 表示質子-質子非弹性碰撞時产生的帶電粒子的角分布。圖中表示出不同數量的次級介子參加的过程的角分布。在幻燈玻璃板上可以清晰的看到，當產生的粒子數很少時，雖然有 90° 的對稱關係，但是粒子在質心系統中有顯著的各向異性分布。反之，當碰撞中有許多次級介子產生時，其角分布實際上變成各向同性的。

图 10 表示質子和核的準自由中子的非弹性碰撞的這類分布，和 $p-p$ 碰撞一樣，在產生很多和很少的次級粒子時的角分布有顯著的差別。然而在 $p-\pi$ 碰撞時，與 $p-p$ 碰撞不同，在產生很少個粒子的條件下，觀察到飛出粒子的角分布有顯著的不對稱。當碰撞時產生的粒子數變得很大時，這些粒子的角分布又好像 $p-p$ 碰撞一樣變為各向同性的。

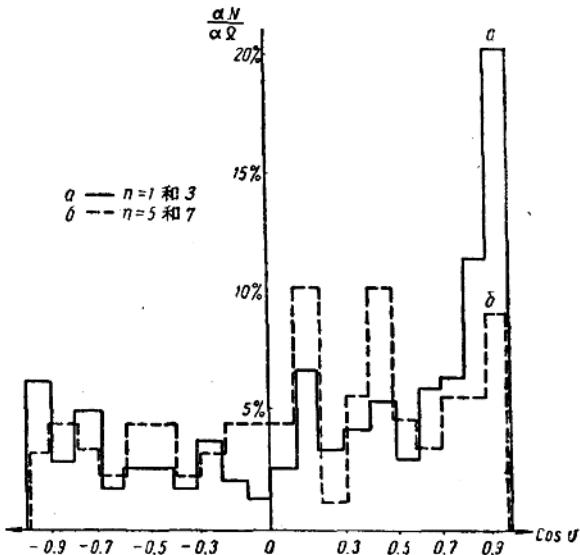


图 10.

这只是些初步的結果，但是它們肯定地指出了二種迥然不同的碰撞型式的存在。我們可以把它們簡單化地稱為外圍碰撞和中心碰撞，即將核子分成二個區域：核子的外圍和核子的中心。在外圍碰撞時產生的次級介子相對地較少，此時核子似乎保持了它本身的“個性”，質子仍然是質子，中子仍然是中子。在核子中心碰撞時產生很多介子，這時已不能認為質子不能轉變成中子（或者相反）。這種情況是與有關大量粒子產生的統計學理論相矛盾的。依靠增加統計數目，還可以發現這些過程的更細致的特性。因為在這裡只能很簡單地說明使用厚層乳膠方法得到的某些最重要的結果，我便不談關於快質子和原子核之間的相互作用以及在星形裂變中粒子角度和能量分布性質的結果，也不談關於快

質子和其他粒子的能量的平均損失問題了。這些資料或者已經發表或者最近將在刊物上發表，在圖 11 上引用比較常觀察到的典型情況之一，它是在 9 千兆電子伏的質子作用下乳膠中溴（或者是銀）核完全分裂的攝影。應該指出，這樣分裂的機制，特別是這些現象的發生次數，還不能認為是清楚的。

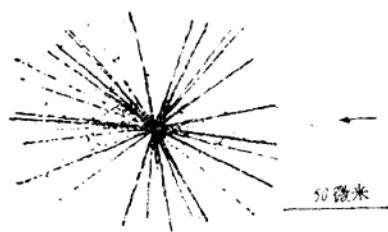


圖 11.

除了上面談過的那些在高能實驗室中進行的研究外，現在正在開始實現與利用威爾遜雲室和各種電子儀器有關的研究計劃。

在用八米厚水泥防護層與加速器隔開的專用房間中布置着許多威爾遜雲室，房間中有一個大的、尺寸為 $200 \times 150 \times 30$ 厘米的擴散雲室，位於 500 吨的電磁鐵的縫隙中，還有一個 50×50 厘米的威爾遜雲室，它與由契倫柯夫計數器控制着的專門電子系統一致協調地工作，此外還有一系列的其他設備。

用我們擬定的能選擇方向的契倫柯夫計數器的系統，可以建立 K 介子孔道，並能記錄能量達到 1.5 千兆電子伏的 K 介子。控制這樣的孔道的威爾遜雲室之一可以用来研究 K 介子所引起的过程（圖 12）。用來控制束使之與加速器工作同步的系統能夠大大地提高威爾遜雲室的效率，並且能相應地增加用快速粒子時雲室的負荷。



圖 12.

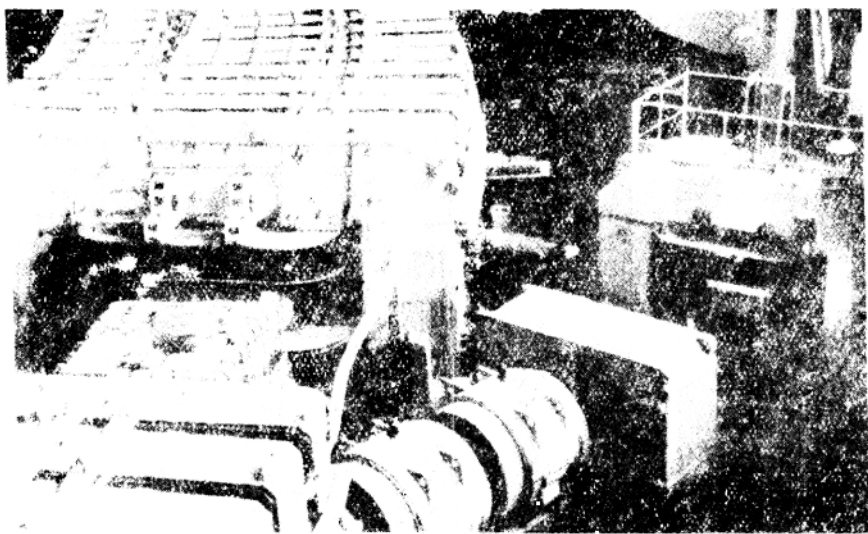


图 13.

图 13 上表示了利用許多正方形透鏡的 π 介子孔道以及裝在孔道末端的氣泡室，這氣泡室是在王滄昌和索洛維也夫 (M. И. Соловьев) 領導下的中國和蘇聯的物理學家和工程師小組建立的，它的尺寸為 $50 \times 35 \times 15$ 厘米。

在圖 14 中所示的液態氫氣泡室的尺寸為 50×35 厘米，現在正準備裝在大介子束的裝置上。

最後我很簡短地敘述一下現在正在同步穩相加速器中實現着的一些新的研究。

眾所周知，美國物理學家小組對 1955 年發現的反質子性質的研究之所以發生困難，在很大程度上是由於反質子的發生與 π 介子的發生比較起來是很稀少的事件，大約 10^4 — 10^5 個介子中有一個反質子。

如果能有效地清除伴隨反質子而來的 π 介子，那麼就會使反質子的實驗非常容易進行。

從聯合研究所的同步穩相加速器得出的高能量的加速粒子保證能得到高強度的反質子束，而利用加速器本身的特

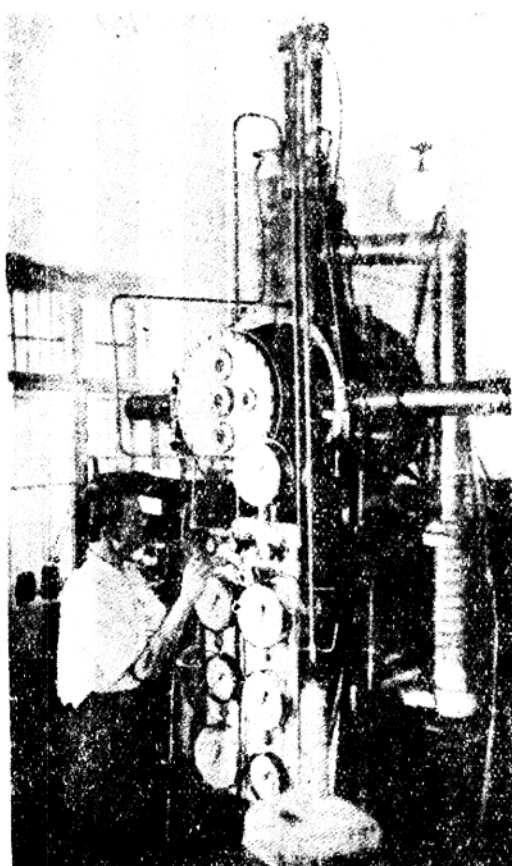


图 14.

点就存在得到足够單純的高能反質子束的可能性。

別徒霍夫 (B. A. Петухов) 和本文作者在 1956 年提出了空間分离反質子和 π 介子的方法。目前这样的反質子装置的許多部分已經制成了，它的結構原理从图 15 上很容易

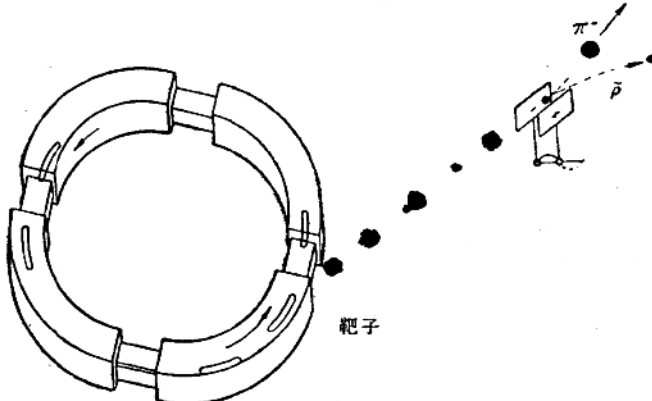


图 15.

了解。

加速到最大能量的質子束(这是用專門的、以相对于基頻的第 70 号譜波上工作的諧振器达到的)分成 70 个单独的小团，并在很短的时间內周期地射到靶上，靶装在同步稳相加速器的真空室内适当的半径之处。这时产生的反質子和帶負电荷的 π 介子一起由加速器的基本磁场偏轉而跑出室外，然后由磁分析器和正方形透鏡組成的磁光学系統在射出的粒子束中分出了窄的动量間隔。在給定的动量时，反質子的速度与实际以光速运动的 π 介子的速度是不同的，因此选择足够长的粒子飞行长度，就能够实现加速器的一定距离处从 π 介子束中完全分出反質子束来的条件。在这个地方装置一个激发横向高頻电場激发的諧振器系統，使粒子依相位的不同而向这边或者向那边偏轉。如果这样来选择从靶室到偏轉系統的距离，使 π 介子及反質子飞行時間之差等于电場变化的半周期，则 π 介子与反質子将沿相反方向偏轉，于是在偏轉系統后面的某一距离处出現了空間分离。在我们的条件下分离出的粒子的动量大約为 3 千兆电子伏/ c 。

对反質子轨迹进行的計算指出，在考慮到距离靶室 50 米处的准直器壁內的粒子散射时，可以得到在水平面上經空間分离的 π 介子与反質子束，其横向的大小为 10 厘米。这样以来，可把 π 介子数与反質子数之間的比例改变几百倍。

当结束这个簡短的报告时，我希望建立 10 千兆电子伏的最大的同步稳相加速的启动和美国的加速器(宇宙射線能級和千兆电子伏級加速器)的运行，将为順利进行与核子结构和基本粒子性质的基本問題有关的广泛問題的研究提供了更大的可能性。

聯合研究所高能实验室、苏联科学院列別捷夫物理研究所、苏联科学院无线电技术研究所、苏联乌克兰科学院物理技术研究所、电子物理仪器研究所的巨大的物理学家、工程师、技术人員集体和其他有关組織的人員参加了开动同步稳相加速器的工作。

理論和实验的研究以及与同步稳相加速器的調整和开动有关的工程設計工作的詳細描写，可参考发表在苏联与外国杂志上的各种論文。

除本文已提到的以外，直接参加同步稳相加速器的各种物理仪器及科学的研究的准备

工作的还有下列高能实验室的物理学家、工程师及其他人员：楚维洛（И. В. Чувило），泽尔多维奇（А. Г. Зельдович），谢麦纽什金（И. Н. Семенющкин）；巴伏洛夫（Н. И. Павлов），津诺夫耶夫（Л. П. Зиновьев），契霍洛夫（К. В. Чехлов）（以上苏联），王淦昌，王树帆（译音）（中华人民共和国），达纳什（М. Я. Даңыш）（波兰），卡兹（Э. Кай）（罗马尼亚），马尔科夫（П. К. Марков）（保加利亚），维丘伍（Ви Чүн-вон）（译音）（朝鲜民主主义人民共和国），勃拉德娜（Ф. Брадна）（捷克斯洛伐克）。

参 考 文 献

- [1] В. И. Векслер, Д. В. Ефремов, А. Л. Минц, М. М. Вейсбейн, Ф. А. Водопьянов, М. А. Гашев, А. И. Зейдлин, П. П. Иванов, А. А. Коломенский, Е. Г. Кошмар, И. Ф. Малышев, Н. А. Молосов, И. Х. Невяжский, В. А. Петухов, М. С. Рабинович, С. М. Рубчинский, К. Д. Спильтников, А. М. Соловьев. Синхрофазotron на энергию 10 Бэв АН СССР. *Атомная энергия* 4, 22 (1956).
- [2] В. И. Векслер, А. А. Коломенский, В. А. Петухов, М. С. Рабинович. Физические основы сооружения синхрофазотрона на 10 Бэв. Приложение к журналу «Атомная энергия» № 4 (1957).
- [3] М. С. Рабинович—Основы теории синхрофазотрона. *Труды ФИАН*, 10, 23 (1958).
- [4] И. С. Данилкин, Л. П. Зиновьев, В. А. Петухов, М. С. Рабинович—Некоторые вопросы работы синхрофазотрона на 180 МГэВ (действующая модель установки на 10 млрд эв). Symposium CERN, 513 (1956).
- [5] М. С. Рабинович—Некоторые вопросы теории синхрофазотрона АН СССР на 10 Бэв. *Атомная энергия* 5, 431 (1957).
- [6] А. М. Балдин, В. В. Михайлов, М. С. Рабинович—Метод огибающих для исследования свободных колебаний в ускорителях. *ЖЭТФ* 31, 993 (1956).
- [7] И. С. Данилкин, М. С. Рабинович—Захват частиц в синхрофазотронный режим ускорения. *ЖТФ* 28, 351 (1958); Резонансные возмущения синхротронных колебаний в ускорителях заряженных частиц. *ЖТФ* 27, 1558 (1957).
- [8] В. И. Котов, Н. Б. Рубин—Собственные функции уравнения свободных колебаний слабофокусирующего ускорителя с разрезным магнитом и их применение. *ЖТФ*, 28, 365 (1958).
- [9] А. Л. Минц, С. М. Рубчинский, М. М. Вейсбейн, Ф. А. Водопьянов, А. А. Кузьмин, В. А. Уваров—Система связи частоты ускоряющего поля и напряженности магнитного поля синхрофазотрона на 10 млрд эв. *Радиотехника и электроника* 1, 910 (1956).
- [10] Ф. А. Водопьянов—Задающий генератор в системе связи частоты ускоряющего поля и напряженности магнитного поля синхрофазотрона на 10 млрд эв. Там же, 1, 928 (1956).
- [11] Ю. М. Лебедев-Красин—Ускоряющие элементы синхрофазотрона и основные вопросы их питания напряжения высокой частоты. Там же, 1, 940 (1956).
- [12] И. Х. Невяжский, Г. М. Драбкин, В. Ф. Трубецкой, А. С. Темкин—применение индуктивностей с ферритовыми сердечниками в контурах мощных высокочастотных каскадов синхрофазотрона. Там же, 1, 954 (1956).
- [13] Г. М. Драбкин, Л. М. Гуревич, Б. М. Гутнер, Н. К. Каминский—Автоматическая настройка контура оконечного каскада высокочастотного генератора синхрофазотрона на 10 млрд эв. Там же, 1, 965 (1956).
- [14] А. Л. Минц, С. М. Рубчинский, М. М. Вейсбейн, А. А. Васильев—Системы управления процессами инъекции и ускорения частиц в синхрофазотроне. Там же, 1, 974 (1956).
- [15] С. М. Рубчинский, А. А. Васильев, В. Ф. Кузьмин, Н. И. Федоренко—Об измерении мгновенной частоты частотно-модулированных колебаний. Там же, 1, 986 (1956).
- [16] С. М. Рубчинский, М. П. Зельдович, С. С. Курочкин—Об измерении мгновенных значений напряженности изменяющихся магнитных полей. Там же, 1, 1001 (1956).
- [17] С. М. Рубчинский, А. А. Васильев, М. П. Зельдович, В. Ф. Кузьмин, С. С. Курочкин—Измерение мгновенных значений переменных параметров в синхрофазотроне. Symposium CERN, 404 (1956).
- [18] А. Л. Минц, С. М. Рубчинский, М. М. Вейсбейн, Ф. А. Водопьянов, А. А. Васильев—Некоторые технические характеристики электронной системы профильного синхротрона на 10 Бэв. Symposium CERN 429 (1956).

- [19] Ф. К. Архангельский, М. А. Гашев, Е. Г. Комар, И. Ф. Малышев, Н. А. Моносон, А. М. Столов, Н. С. Стрельцов—Электрические и конструктивные проблемы сооружения крупных циклических ускорителей. «Электричество», № 11, 25 (1957).
- [20] А. А. Журавлев, Е. Г. Комар, И. А. Мозалевский, Н. А. Моносон, А. М. Столов—Магнитные характеристики протонного синхротрона на 10 Бэв. Приложение к журналу «Атомная энергия» № 4 (1957). См. также: Symposium CERN, 339 (1956).
- [21] М. А. Гашев, Е. Г. Комар, Н. А. Моносон, Ф. М. Спекакова, А. М. Столов—Система питания электромагнита синхрофазotrona на 10 Бэв. Symposium CERN, 378 (1956).
- [22] Е. Г. Комар, Н. А. Моносон, Н. С. Стрельцов, Г. М. Федотов—Некоторые конструктивные особенности электромагнита синхрофазотрона на 10 Бэв. Symposium - CERN, 382 (1956).
- [23] Е. Г. Комар, И. Ф. Малышев, Я. Л. Микелис, А. В. Попкович—Вакуумная камера электромагнита синхрофазотрона на 10 Бэв. Symposium CERN, 385 (1956).

快中子辐射俘获截面的測量*

雷彭斯基 (А. И. Лейпунский) 卡薩奇柯夫斯基 (О. Д. Казачковский)
阿尔丘霍夫 (Г. Я. Артюхов) 巴雷施尼柯夫 (А. И. Барышников)
巴拉諾娃 (Т. С. Баланова) 加尔柯夫 (В. Н. Галков)
斯达維斯基 (Ю. Я. Ставиский) 斯屠姆布尔 (Э. А. Стумбур)
舍尔曼 (Л. Е. Шерман)

核燃料扩大再生产快中子反应堆建造問題的发展提出了对于用作结构材料、载热剂及稀释剂的物质(包括 U^{238} 及 Th^{232}) 的辐射俘获有效截面进行测量的任务。

中子辐射俘获之所以重要,首先是从裂变同位素再生产的观点来看的。结构材料、载热剂和中性稀释剂俘获中子,引起用于再生产的中子的损失。而同时, U^{238} 及 Th^{232} 的辐射俘获导致新的裂变同位素的出现,因此又是各种可能再生产循环的基础。此外,结构材料和载热剂的辐射俘获基本上决定了这些材料在反应堆中的活化情况。这个活化的大小关系着反应堆的运转条件以及辐射防护的各项要求。

在我们的实验工作开始以前 (1950), 关于快中子辐射俘获截面的数据极其有限而且相互矛盾。有必要进行一系列的研究。为了得到计算反应堆所需的极为可靠的常数, 我们使用了各种方法对各种能量的中子和对尽可能多的同位素进行了测量。对于大量同位素,其中包括不能用于反应堆的同位素的截面测量,再加上理论的引用,可以对无法直接测量的俘获截面作出估值。

大家知道, 测量俘获截面最简单可行的方法之一是活化法。它的优点在于可能测量单个同位素的截面而毋需分离天然同位素混合物, 在于可能使用小量研究物质(毫克数量级)。但是方法的应用范围由可被活化的同位素大大限制了。因此,除了活化法,在测量俘获截面时还使用了基于测量俘获辐射强度的方法, 基于减弱球状几何中子流的方法以及反应堆振荡子方法。利用这些方法可以得到不能活化的同位素的俘获截面。

俘获截面的测量既在单能中子(核反应 $T(p, n)He^3$, $D(D, n)He^3$ 产生的中子, $Sb-Be$, $Na-D_2O$, $Na-Be$ 的光中子) 中进行, 又在宽广的中子能谱范围里(裂变中子, 在快中子反应堆活化层中及屏蔽层中建立起来的较软的中子谱) 进行。宽谱测量的分析解释比较困难, 但是进行测量时在强度上实际将无限制。这样就有可能对单色中子测量所力不能及的极其小的截面进行测量。

极易见到, 在多数情况下, 被测到的截面决定于中间态核的许多能级, 因为即使对于核反应所产生的中子来说, 中子能量分布的真正宽度比能级平均间距要大很多(轻核和幻核除外)。在本报告中所讨论到的关于辐射俘获截面测量的实验工作, 是在 1950—1957 年间进行的。所作测量基本上都是相对测量, 而为了得到截面的绝对数值, 应用了若干参

* “第二届和平利用原子能国际会议文献”编号 A/CONF/15/P/2219, 苏联, 原文为俄文。

考截面(热中子俘获截面,选作标准样品的同位素的快中子俘获截面等等)。

本报告所引的测量結果都是根据最新发表的参考截面值換算过的。在这些結果的誤差中并沒有把参考截面的誤差包括进去。采用了下列几个基本标准样品的参考截面值:

I¹²⁷ 24千电子伏: 0.82 靶^[1]

I¹²⁷ 200千电子伏: 0.40 靶^[2]

U²³⁵ 200千电子伏: 1.47 靶^[3]

Pu²³⁹ 快中子反应堆活性区中心: 1.83 靶^[4]

快中子反应堆屏蔽层: 1.75 靶^[4]

我們还使用了文献[5],[6]的热中子俘获截面数值。

I. 反应 T(p, n)He³, D(D, n)He³ 所产生的中子的辐射俘获

1) 活化测量

用活化法測量了一系列同位素,当中子能量为~0.2, ~2.7 及~4兆电子伏时的俘获

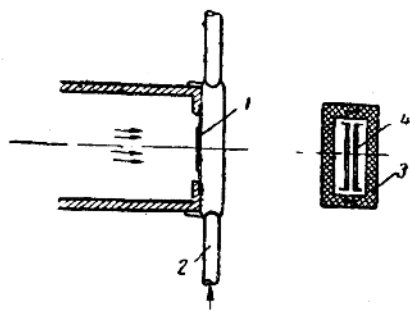


图1. 活化测量
1. 吸附着氮的钛层; 2. 水蒸汽冷却靶;
3. 玻璃窗制容器; 4. 样品。

截面, 能量为~0.2兆电子伏的中子是从高压培加管靶上所产生的T(p, n)He³反应得来的。中子能量散度基本上由靶的厚度决定而为~30千电子伏。被研究的样品和用作标准样品的碘-127样品一同在快中子流(图1)和慢中子流中照射。

热中子照射在鈾石墨反应堆热柱中进行, 镍比值約为200(根据碘)。样品的活化程度用MCT-17型鉛罩气体放电計数管測量。

在每个样品的照射时间, 退光時間和測量時間保持常数的情况下, 俘获截面可以由下列

关系定出:

$$\sigma_c = \sigma_{cs} \times \frac{\sigma_{cr}}{\sigma_{sr}} \times \frac{A_6}{A_{69}} / \frac{A_r}{A_{73}}, \quad (1)$$

式中 $\frac{A_6}{A_{69}}$ 及 $\frac{A_r}{A_{73}}$ 是在快中子流中及在慢中子流中被研究样品与标准样品活化程度的比值; σ_{cs} , σ_{sr} 是标准样品的快中子俘获截面及慢中子俘获截面; σ_{cr} 是被研究元素的热中子俘获截面。

測量能量为2.7及4兆电子伏的中子俘获截面所用的中子源是重冰靶上所产生的D(D, n)He³反应。受照射的样品位于90及0°角, 这相應于俘获中子平均能量~2.7及4兆电子伏。碘-127对能量为2.7及4兆电子伏中子的俘获截面利用与U²³⁸裂变截面相比較的方式测定为:

$$\sigma_{2.7} = 47 \pm 2 \text{ 毫靶}.$$

$$\sigma_4 = 23 \pm 1 \text{ 毫靶}.$$

能量为 0.2、2.7 及 4 兆电子伏中子的测量结果列如表 1.

表 1 活化截面(毫吧)

同位素	0.2 兆电子伏	2.7 兆电子伏	4 兆电子伏
N ₂₃	1.8±0.18	<0.23	<0.12
Mg ²⁶	8.2±1.2	0.35±0.09	0.25±0.05
Al ²⁷	5.6±0.56	<3.5	<1.8
Si ³⁰	5.5±0.5	0.3±0.3	0.67±0.10
Cl ³⁷	4.31±0.04	0.65±0.09	0.34±0.09
V ⁵¹	10.0±0.8	1.97±0.08	1.78±0.06
Mn ⁵⁵	19.7±1.1	3.12±0.3	1.79±0.18
Ni ⁶⁴	43.5±4.1	<5.2	2.6±1.3
Cu ⁶⁵	13.9±1.5	4.75±0.05	2.77±0.03
Zn ⁶⁹	35±1.5	<13.6	<9.14
Br ⁷⁸	328±8.0	26.4±0.5	11.7±0.3
Br ⁷⁹	140±12	14.3±0.7	6.6±0.4
Mo ¹⁰⁰	51.6±2.1	6.50±0.7	3.9±0.4
Ag ¹⁰⁷	390±13	56±1	29.4±0.9
In ¹¹⁵	234±15.6	74±3	39.2±1.6
Ba ¹³⁸	5.16±0.8	1.14±0.23	0.78±0.24
W ¹⁸⁶	180±13	<36	<19
Hg ²⁰¹	<250	<50	<25
Pb ²⁰⁹	7.5±3.8	1.1±0.5	0.50±0.25
Th ²³²	217±11	—	—
U ²³⁸	194±8	53.3±1.6	33.3±1.2

在测量 U²³⁸ 的中子俘获截面时, 记录了 U²³⁹ 的 β 放射性。为了减低铀的初始活化程度并且移除裂变碎片, 用乙醚提取法进行化学净化。

为了减低钍的天然 β 放射性, 用载体方法分离了天然衰变产物。采用了钼、钨及铅作为载体。由于移除裂变碎片方法上的复杂性, 钍的俘获截面仅对能量 ~ 0.2 兆电子伏的中子作了测量。

对于若干元素, 在能量为 2.7 及 4 兆电子伏的中子照射下, 观察到由于 (n, p) , (n, α) 过程(铝、氯)以及由于在非弹性散射时同质异能状态激发(铟、汞)所致的附加活化。在钼及汞的情况下, 无法将这些效应分离出来。因此对这两个元素得到的是俘获截面的上限。

2) 记录辐射俘获的 γ 射线

为了测量能量为 ~ 0.2 兆电子伏中子的俘获截面, 在 1951—1954 年间采用了两个基于记录俘获 γ 射线的方法。这类测量的主要困难出自中子源产生的 γ 射线本底。这就排斥了通常用作中子源的一系列核反应的采用: $Li^7(p, n)Be^7$, $C^{12}(d, n)N^{13}$ 等等。可以用作中子源的仅是 $T(p, n)He^3$ 反应。

用第一个方法测量截面的时候, 比较了在氚靶产生的同样中子流(见活化测量)中由被研究样品所产生的和由碘-127 标准样品所产生的 γ 射线的强度。 γ 射线强度和俘获截面 σ_0 及每个俘获产生的平均的 γ 量子数的数目 $\bar{\varphi}$ 成比例。 $\bar{\varphi}$ 的测定采用 γ - γ 符合计数的方法。俘获 γ 射线是由两个使用蕙活化的苯单晶的闪烁探测器记录的(图 2)。电子学线路能够使每个探测器以 ~ 0.7 兆电子伏的能量记录 γ 射线, 并且以 $\sim 1.5 \times 10^{-7}$ 秒的